

北海道大学工学部

正員

柏村 正和

1. まえがき

川の淡水が河口を出て海上にひろがる場合、その流量や、海水と淡水の密度差、河口川幅、などのちがいによって種々の flow-pattern を示すことはよく知られている。¹⁾ 流量が少なくて淡水の河口を通過する速度が小さい場合とか、淡塩密度差、河口幅が大きい場合には、淡水流は河口を出て扇のよう²⁾に放射状にひろがっていくが、逆に流量が大きくなり、同時に他の条件も先の場合と逆になつていくと、次第に平面噴流の形式に移行していくことが知られている。前者は淡水が海水の上へ浮力により乗りあげることによつて発生するもので、密度流的性質を強く示しているものであるが、後者は乱れによつて混合が促進され、一種類の流体の乱流ジェットに近い性質を持つものである。これらの流況の実験例は図-1(a)(b) のとおりである。

(a)は一様な性質をもつた理想流体が示す2次元のポテンシャル流の流線と形がよく似ている。³⁾ 実際に等角写像によつて求められた流線と比較すると酷似している。⁴⁾ しかし全く異なる点が一つ存在する。それは、一様流体のポテンシャル流では流心に沿つて河口から沖へ向かう場合には、流速は次第に減少してゆきであるが、二層流の場合では、表層淡水は速度が逆に次第に大きくなり、河口を出たところでピーグに達し、その後急速に減衰していく形態となる。図-2は石狩川河口附近の流心に沿つた速度(実線)分布を示すもので、河口での流速($U_0 = 90 \text{ cm/s}$)を基準にしてある。距離も河口幅300 mを基準に(b は相当)、無次元化してある。数年にわたる観測の全部が常に同じ傾向を持っている。これは実際ばかりでなく、室内実験においても現われる。図-3はそのうちの3例を示すもので、表層に注入した色素の動きを8枚カメラにてとり、1コマ毎レーベルで作った等流速 contour を示す。^{5), 6)} このように二層流では流心に加速点を生ずるのが特徴的であり、これについての考

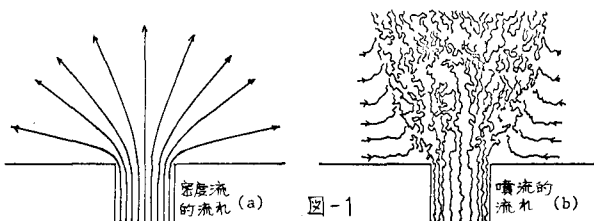


図-1

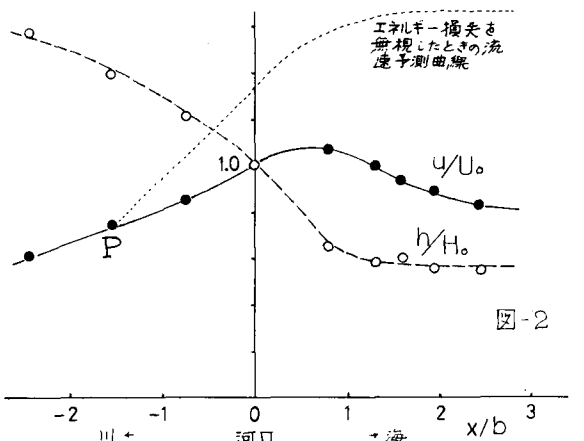


図-2

等流速 contour を示す。
このように二層流では流心に加速点を生ずるのが特徴的であり、これについての考

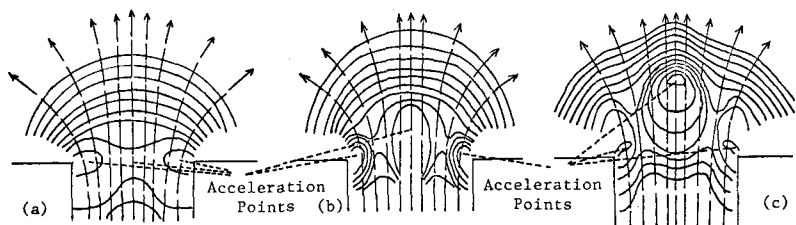


図-3 実験から得られている速度分布

察を行なってみたい。

2. 二層流の河口表面で加速現象を生ずる現象の考察

定常で二層流の抵抗を無視した場合を考える。これは河口を通過するときの現象は過渡的なものであって距離に対する流況の変化が大きいからその傾向は抵抗を無視しても大体察することができるだろうとの予想による。方程式は(1)のようになり、(2)式は連続方程式である。⁷⁾ ここに用いは淡水流

$$\left. \begin{aligned} u \frac{\partial u}{\partial x} + v \frac{\partial u}{\partial y} + \varepsilon g \frac{\partial h}{\partial x} = 0 \\ u \frac{\partial v}{\partial x} + v \frac{\partial v}{\partial y} + \varepsilon g \frac{\partial h}{\partial y} = 0 \end{aligned} \right\} \cdots (1)$$

$$\frac{\partial}{\partial x}(hu) + \frac{\partial}{\partial y}(hv) = 0 \quad \cdots (2)$$

$$hu = \frac{\partial \psi}{\partial y}, \quad hv = -\frac{\partial \psi}{\partial x} \quad \cdots (3)$$

$$\left. \begin{aligned} u \frac{\partial u}{\partial x} + v \frac{\partial v}{\partial x} + \varepsilon g \frac{\partial h}{\partial x} - v \left(\frac{\partial u}{\partial x} - \frac{\partial u}{\partial y} \right) = 0 \\ u \frac{\partial u}{\partial y} + v \frac{\partial v}{\partial y} + \varepsilon g \frac{\partial h}{\partial y} + u \left(\frac{\partial v}{\partial x} - \frac{\partial v}{\partial y} \right) = 0 \end{aligned} \right\} \cdots (4)$$

$$\frac{u^2 + v^2}{2} + \varepsilon gh + \int \frac{1}{h} \left\{ \frac{\partial}{\partial x} \left(\frac{1}{h} \frac{\partial \psi}{\partial x} \right) + \frac{\partial}{\partial y} \left(\frac{1}{h} \frac{\partial \psi}{\partial y} \right) \right\} d\psi = C \quad \cdots (5)$$

$$\frac{1}{h} \left\{ \frac{\partial}{\partial x} \left(\frac{1}{h} \frac{\partial \psi}{\partial x} \right) + \frac{\partial}{\partial y} \left(\frac{1}{h} \frac{\partial \psi}{\partial y} \right) \right\} + \frac{dH}{d\psi} = 0 \quad \cdots (6)$$

$$\begin{aligned} H &= \frac{u^2 + v^2}{2} + \varepsilon gh \\ &= \text{const} \quad (\text{流線上で}) \end{aligned} \quad \cdots (7)$$

流速も川幅の方向に一様ならば $dH/d\psi = 0$ となるから、これから下流でも(6)式から(8)式が成

$$\frac{\partial}{\partial x} \left(\frac{1}{h} \frac{\partial \psi}{\partial x} \right) + \frac{\partial}{\partial y} \left(\frac{1}{h} \frac{\partial \psi}{\partial y} \right) = 0 \quad \cdots (8)$$

り立つことになる。もし河口両側の間に渦巻域が生じればその部分だけ独立して(6)式が成り立つとして考えていくべきよい。したがってもし、流線の状況を調べる場合は(8)式、または(6)式を境界条件にしたがって解けばよいことになる。

ここでは(7)式を用いて加速現象を考えよう。一本の流線上で H が一定であるから、河口における

$$\frac{u^2}{2} + \varepsilon gh = \frac{U_0^2}{2} + \varepsilon g H_0 = \text{一定} \quad \cdots (9)$$

$$\frac{U_0^2}{\varepsilon g H_0} = 1 \quad \cdots \cdots \cdots (10)$$

$$\left(\frac{u}{U_0} \right)^2 + 2 \frac{h}{H_0} = 3 \quad \cdots \cdots \cdots (11)$$

淡水厚と淡水流速の関係が求められる。河口を出ると淡水は塩水にのり上げて四方へひろがるのでどう重みを失なわなくてはならぬ。従って(11)式により、流速は早くなる。もし式の仮定通りに淡水と塩水間に抵抗がなく、淡水のエネルギー損失が0ならば u/U_0 は $\sqrt{3}$ にまで実験的には達するはずである。しかし現実にはエネルギーがたえず失なわれる。混合現象がその証據である。従って流れは加速はされますがエネルギー損失によりやがてピークに達し、以後減速の過程をたどることになる。図-2の実線は石狩川の実測であるが、もしエネルギー損失がなく、卫星のエネルギーが保存されれば速度は実線の如くなるであろう。実線と実線の差は混合などにもとづくエネルギー損失に対するものである。文献1)柏村吉田(13海工2)Coast Eng J 10.3)、13水理 4)北大工研53.5)、17海工 6)米国スシボウム会(北大工研28,(以上)